



Министерство науки и высшего образования Российской Федерации  
Федеральное государственное бюджетное образовательное учреждение  
высшего образования  
«Московский государственный технический университет  
имени Н. Э. Баумана  
(национальный исследовательский университет)»  
(МГТУ им. Н. Э. Баумана)

---

ФАКУЛЬТЕТ

«Информатика и системы управления»

КАФЕДРА

«Программное обеспечение ЭВМ и информационные технологии»

## ОТЧЁТ

По лабораторной работе № 4

По курсу: «Моделирование»

Тема: «Программно-алгоритмическая реализация моделей на основе ОДУ  
второго порядка с краевыми условиями II и III рода»

Студент: Керимов А. Ш.

Группа: ИУ7-64Б

Оценка (баллы): \_\_\_\_\_

Преподаватель: Градов В. М.

Москва

2020

**Цель работы.** Получение навыков разработки алгоритмов решения смешанной краевой задачи при реализации моделей, построенных на квазилинейном уравнении параболического типа.

## Исходные данные

1. Задана математическая модель.

Уравнение для функции  $T(x, t)$

$$c(T) \frac{\partial T}{\partial t} = \frac{\partial}{\partial x} \left( k(T) \frac{\partial T}{\partial x} \right) - \frac{2}{R} \alpha(x) T + \frac{2T_0}{R} \alpha(x) \quad (1)$$

Краевые условия

$$\begin{cases} t = 0, & T(x, 0) = T_0, \\ x = 0, & -k(T(0)) \frac{\partial T}{\partial x} = F_0, \\ x = l, & -k(T(l)) \frac{\partial T}{\partial x} = \alpha_N(T(l) - T_0). \end{cases} \quad (2)$$

В обозначениях уравнения (14.1) [лекции № 14](#).

$$p(x) = \frac{2}{R} \alpha(x), \quad f(u) \equiv f(x) = \frac{2T_0}{R} \alpha(x). \quad (3)$$

2. Разностная схема с разностным краевым условием при  $x = 0$ . Получено в Лекции № 14 (14.6), (14.7), и может быть использовано в данной работе. Самостоятельно надо получить интегро-интерполяционным методом разностный аналог краевого условия при  $x = l$ , точно так же, как это сделано при  $x = 0$  (14.7). Для этого надо проинтегрировать на отрезке  $[x_{N-\frac{1}{2}}, x_N]$  выписанное выше уравнение (1) и учесть, что поток

$$\hat{F}_N = \alpha_N(\hat{y}_N - T_0), \quad \hat{F}_{N-\frac{1}{2}} = \hat{\chi}_{N-\frac{1}{2}} \frac{\hat{y}_{N-1} - \hat{y}_N}{h}. \quad (4)$$

3. Значения параметров для отладки (все размерности согласованы)

$$\begin{aligned} k(T) &= a_1(b_1 + c_1 T^{m_1}) \quad \text{Вт/см K}, \\ c(T) &= a_2 + b_2 T^{m_2} - \frac{c_2}{T_2} \quad \text{Вт/см K}, \\ a_1 &= 0,0134, \quad b_1 = 1, \quad c_1 = 4,35 \cdot 10^{-4}, \quad m_1 = 1, \\ a_2 &= 2,049, \quad b_2 = 0,563 \cdot 10^{-3}, \quad c_2 = 0,528 \cdot 10^5, \quad m_2 = 1, \\ \alpha(x) &= \frac{c}{x - d}, \\ \alpha_0 &= 0,05 \quad \text{Вт/см}^2 \text{ K}, \\ \alpha_N &= 0,01 \quad \text{Вт/см}^2 \text{ K}, \\ l &= 10 \quad \text{см}, \\ T_0 &= 300 \quad \text{K}, \\ R &= 0,5 \quad \text{см}, \\ F_0 &= 50 \quad \text{Вт/см}^2 \text{ (для отладки принять постоянным)}. \end{aligned}$$

## Физическое содержание задачи

Постановки задач в данной лабораторной работе и [работе № 3](#) во многом совпадают. Отличия заключаются в следующем:

1. Сформулированная в данной работе математическая модель описывает **нестационарное** температурное поле  $T(x, t)$ , зависящее от координаты  $x$  и меняющееся по времени.
2. Свойства материала стержня привязаны к температуре, т. е. теплоёмкость и коэффициент теплопроводности  $c(T)$ ,  $k(T)$  зависят от  $T$ , тогда как в работе № 3  $k(x)$  зависит от координаты, а  $c = 0$ .
3. При  $x = 0$  цилиндр нагружается тепловым потоком  $F(t)$ , в общем случае зависящем от времени, а в работе № 3 поток был постоянный.

Если в настоящей работе задать поток постоянным, т. е.  $F(t) = \text{const}$ , то будет происходить формирование температурного поля от начальной температуры  $T_0$  до некоторого установившегося (стационарного) распределения  $T(x, t)$ . Это поле в дальнейшем с течением времени меняться не будет и должно совпасть с температурным распределением  $T(x)$ , получаемым в лаб. работе № 3, если все параметры задач совпадают, в частности, вместо  $k(T)$  надо использовать  $k(x)$  из лаб. работы № 3. Это полезный факт для тестирования программы.

Если после разогрева стержня положить поток  $F(t) = 0$ , то будет происходить остывание, пока температура не выровняется по всей длине и не станет равной  $T_0$ .

При произвольной зависимости потока  $F(t)$  от времени температурное поле будет как-то сложным образом отслеживать поток.

*Замечание.* Варьируя параметры задачи, следует обращать внимание на то, что решения, в которых температура превышает примерно 2000К, физического смысла не имеют и практического интереса не представляют.

Ось  $x$  направлена вдоль оси цилиндра и начало координат совпадает с левым торчком стержня. Слева при  $x = 0$  цилиндр нагружается тепловым потоком  $F_0$ . Стержень обдувается воздухом, температура которого равна  $T_0$ . В результате происходит съём тепла с цилиндрической поверхности и поверхности правого торца при  $x = l$ . Функции  $k(x)$ ,  $\alpha(x)$  являются, соответственно, коэффициентами теплопроводности материала стержня и теплоотдачи при обдуве.

## Результаты работы

1. Разностный аналог краевого условия при  $x = l$  и его краткий вывод интегро-интерполяционным методом

Обозначим  $u \equiv T$ ,  $F = -k(u) \frac{\partial u}{\partial x}$ . Тогда (1), с учётом также (3), примет вид:

$$c(u) \frac{\partial u}{\partial t} = - \frac{\partial F}{\partial x} - p(x)u + f(u). \quad (5)$$

Проинтегрируем на отрезке  $[x_{N-\frac{1}{2}}, x_N]$ :

$$\int_{x_{N-\frac{1}{2}}}^{x_N} dx \int_{t_m}^{t_{m+1}} c(u) \frac{\partial u}{\partial t} dt = - \int_{t_m}^{t_{m+1}} dt \int_{x_{N-\frac{1}{2}}}^{x_N} \frac{\partial F}{\partial x} dx - \int_{x_{N-\frac{1}{2}}}^{x_N} dx \int_{t_m}^{t_{m+1}} p(x)u dt + \int_{x_{N-\frac{1}{2}}}^{x_N} dx \int_{t_m}^{t_{m+1}} f(u) dt,$$

или

$$\int_{x_{N-\frac{1}{2}}}^{x_N} \widehat{c}(\widehat{u} - u) dx = \int_{t_m}^{t_{m+1}} (F_{N-\frac{1}{2}} - F_N) dt - \int_{x_{N-\frac{1}{2}}}^{x_N} p\widehat{u}\tau dx + \int_{x_{N-\frac{1}{2}}}^{x_N} \widehat{f}\tau dx.$$

Здесь при вычислении внутренних интегралов по  $t$  справа применен метод правых прямоугольников.

Вычисляем интегралы. Первый интеграл справа находим методом правых прямоугольников, а остальные — методом трапеций

$$\begin{aligned} \frac{h}{4} \left[ \hat{c}_N (\hat{y}_N - y_N) + \hat{c}_{N-\frac{1}{2}} \left( \hat{y}_{N-\frac{1}{2}} - y_{N-\frac{1}{2}} \right) \right] = \\ = - \left( \hat{F}_N - \hat{F}_{N-\frac{1}{2}} \right) \tau - \left( p_N \hat{y}_N + p_{N-\frac{1}{2}} \hat{y}_{N-\frac{1}{2}} \right) \tau \frac{h}{4} + \left( \hat{f}_N + \hat{f}_{N-\frac{1}{2}} \right) \tau \frac{h}{4}, \end{aligned}$$

подставим (4), учитывая  $\hat{y}_{N-\frac{1}{2}} = \frac{\hat{y}_N + \hat{y}_{N-1}}{2}$  и  $y_{N-\frac{1}{2}} = \frac{y_N + y_{N-1}}{2}$

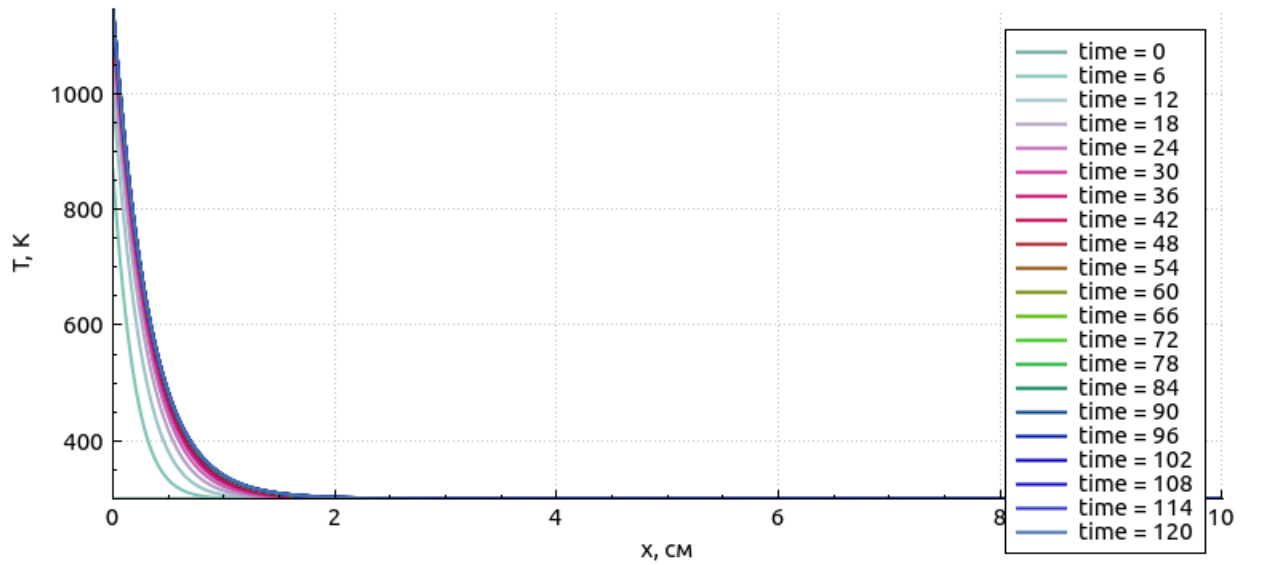
$$\begin{aligned} \frac{h}{4} \left[ \hat{c}_N (\hat{y}_N - y_N) + \hat{c}_{N-\frac{1}{2}} \left( \frac{\hat{y}_N + \hat{y}_{N-1}}{2} - \frac{y_N + y_{N-1}}{2} \right) \right] = \\ = - \left( \alpha_N (\hat{y}_N - T_0) - \hat{\chi}_{N-\frac{1}{2}} \frac{\hat{y}_{N-1} - \hat{y}_N}{h} \right) \tau - \left( p_N \hat{y}_N + p_{N-\frac{1}{2}} \frac{\hat{y}_N + \hat{y}_{N-1}}{2} \right) \tau \frac{h}{4} + \left( \hat{f}_N + \hat{f}_{N-\frac{1}{2}} \right) \tau \frac{h}{4}, \end{aligned}$$

приведём уравнение к виду  $\hat{K}_N \hat{y}_N + \hat{M}_N \hat{y}_{N-1} = \hat{P}_N$

$$\begin{aligned} \left( \hat{c}_N \frac{h}{4} + \hat{c}_{N-\frac{1}{2}} \frac{h}{8} + \alpha_N \tau + \hat{\chi}_{N-\frac{1}{2}} \frac{\tau}{h} + p_N \frac{\tau h}{4} + p_{N-\frac{1}{2}} \frac{\tau h}{8} \right) \hat{y}_N + \\ + \left( \hat{c}_{N-\frac{1}{2}} \frac{h}{8} - \hat{\chi}_{N-\frac{1}{2}} \frac{\tau}{h} + p_{N-\frac{1}{2}} \frac{\tau h}{8} \right) \hat{y}_{N-1} = \\ = \frac{h}{4} \left( \hat{c}_N y_N + \hat{c}_{N-\frac{1}{2}} \frac{y_N + y_{N-1}}{2} \right) + \alpha_N T_0 \tau + \left( \hat{f}_N + \hat{f}_{N-\frac{1}{2}} \right) \tau \frac{h}{4} \quad (6) \end{aligned}$$

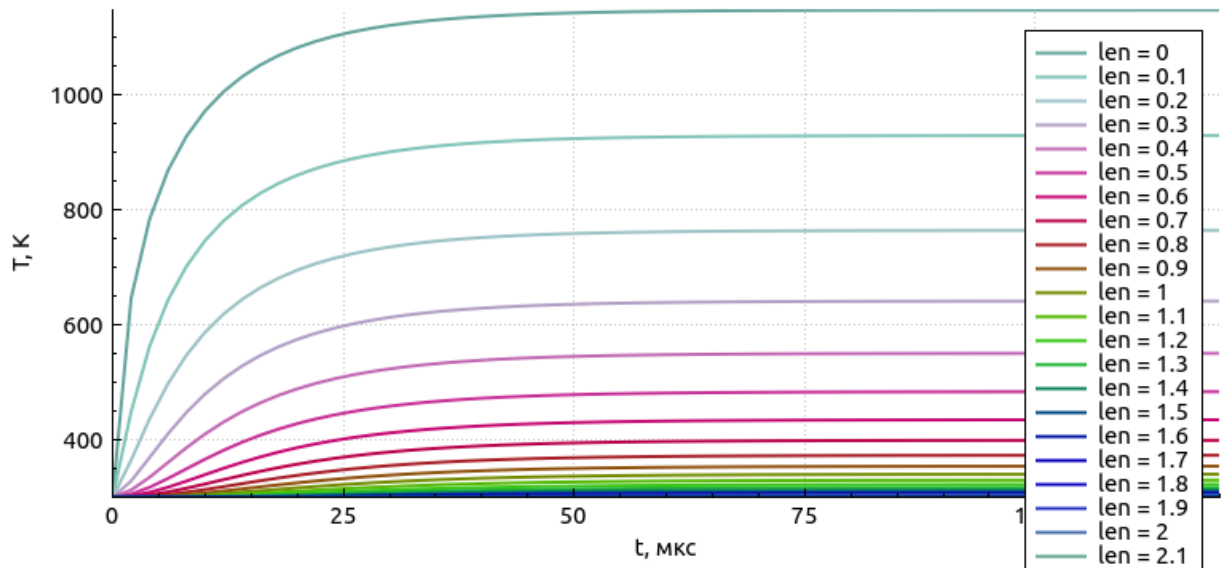
Таким образом, уравнение (6) — разностный аналог краевого условия при  $x = l$ .

## 2. График зависимости $T(x, t_m)$ от координаты $x$ при нескольких фиксированных значениях времени $t_m$ при заданных выше параметрах



На рисунке представлены графики зависимости температуры от координаты при фиксированных  $t = 0, 6, 12, \dots$

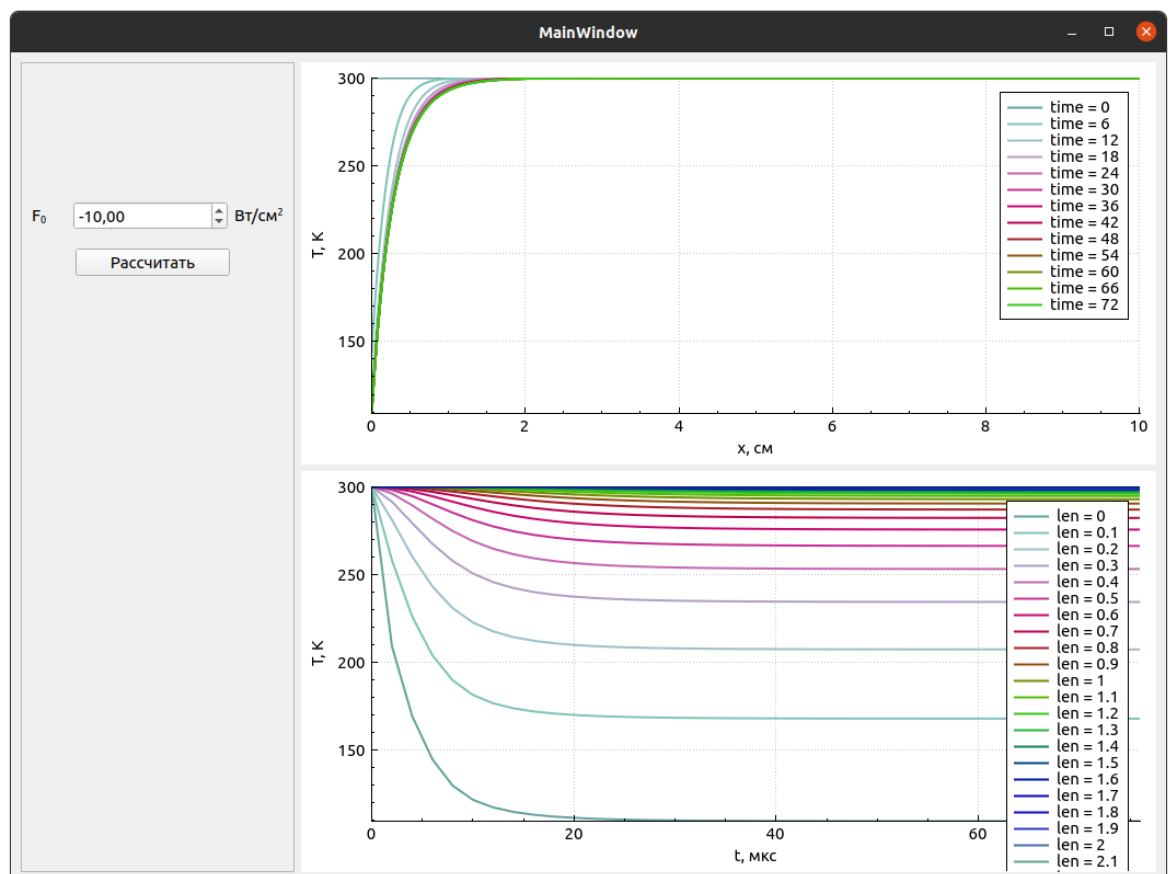
## 3. График зависимости $T(x_n, t)$ при нескольких фиксированных значениях координаты $x_n$



На рисунке представлены графики зависимости температуры от времени при фиксированных  $x = 0, 0.1, 0.2, \dots, 10$ .

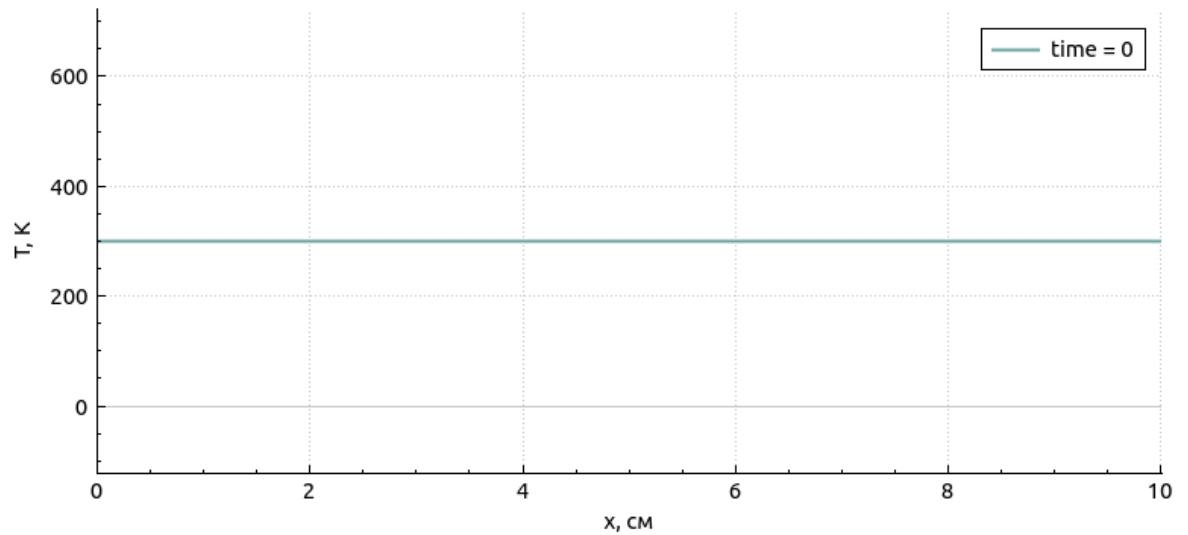
## Вопросы

- Приведите результаты тестирования программы (графики, общие соображения, качественный анализ). Учесть опыт выполнения лабораторной работы № 3.
  - Задать отрицательный тепловой поток. Стержень будет охлаждаться с левого торца, а значит  $T(x)$  от 0 до  $l$  будет увеличиваться.

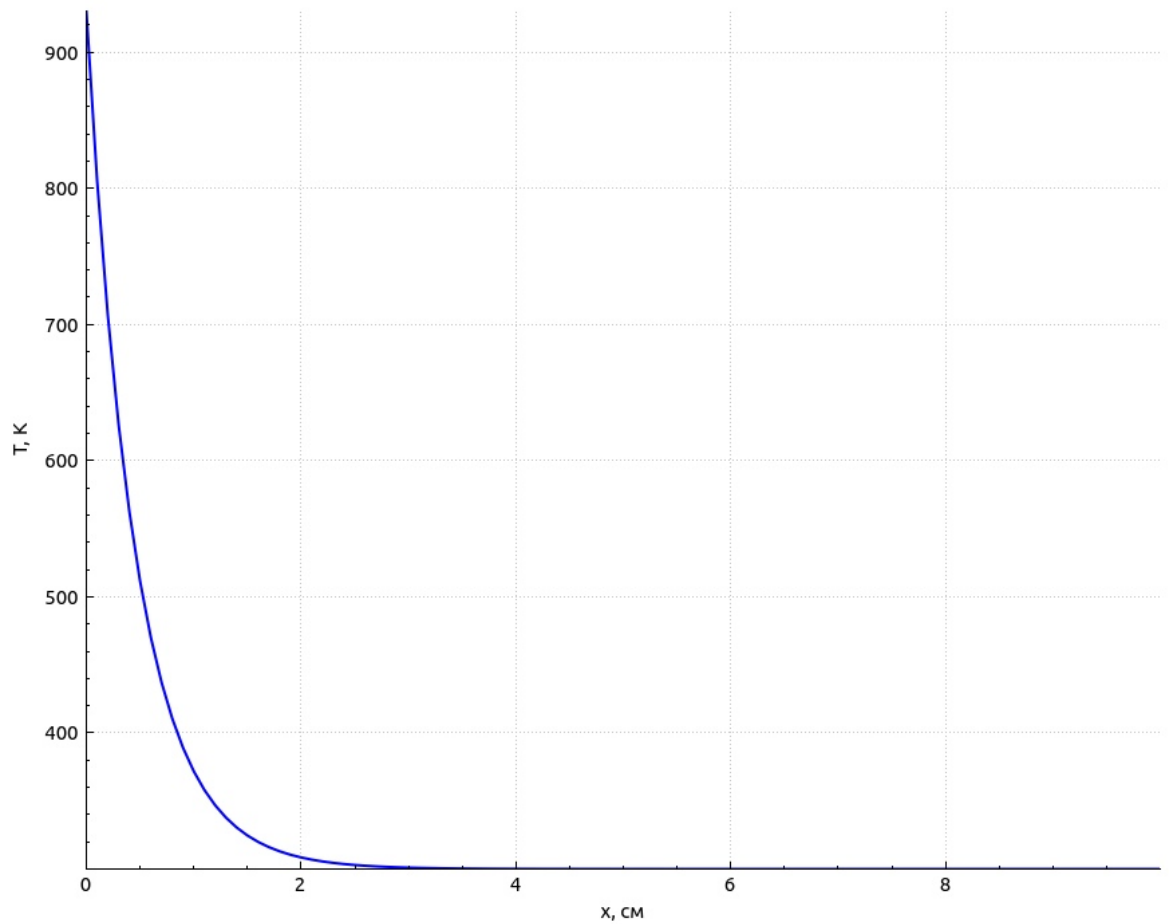


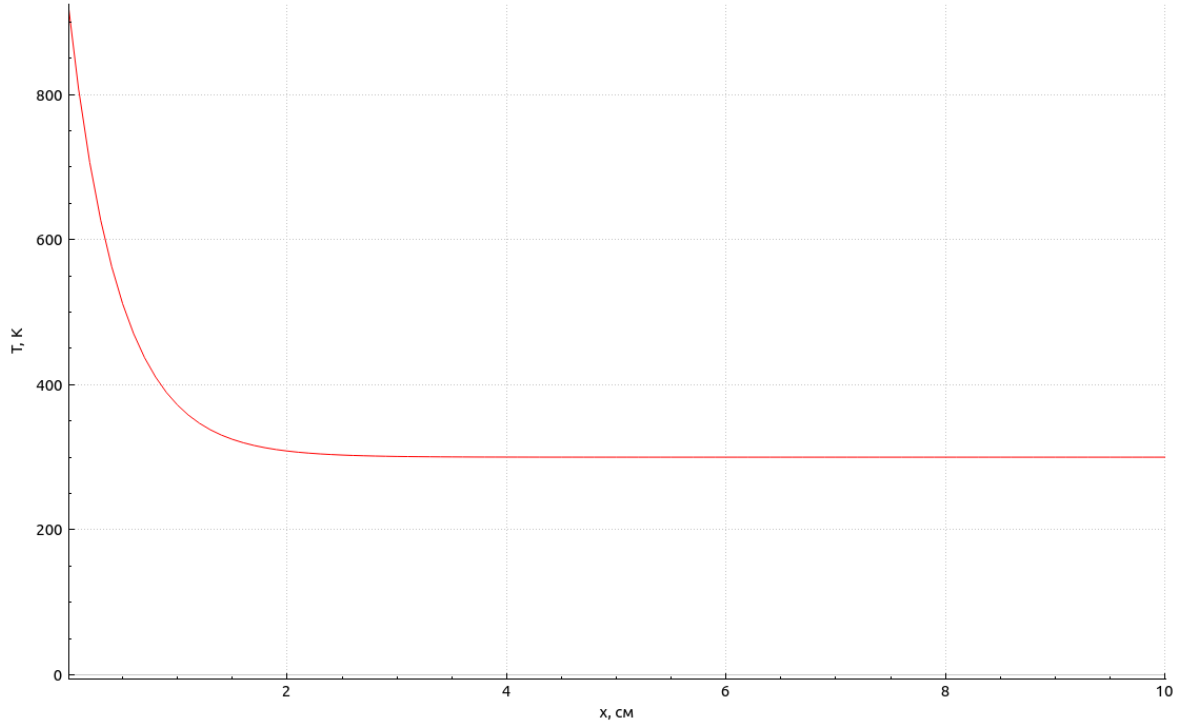
- При большей теплоотдаче стержня его температура должна снизиться.

- При нулевом тепловом потоке температура стержня должна быть неизменной и равняться температуре окружающей среды.



- Свойства материала стержня привязаны к температуре, теплоемкость и коэффициент теплопроводности зависят от  $T$ , поменяем зависимости: установим зависимости  $T$  от  $x$ , а  $\alpha = 0$ . Тогда температурное поле  $T(x,t)$  должно совпасть с температурным распределением  $T(x)$  из лабораторной 3.





На первом рисунке представлен график из 4 работы с изменёнными параметрами, а на втором — из 3. Видно, что графики совпадают, пиковые температуры на левых торцах одинаковые, на правых — равны температуре окружающей среды. Может показаться, что графики различаются, но это не так. Визуальные различия связаны с разным масштабом координатной плоскости.

2. Выполните линеаризацию уравнения (14.8) по Ньютону, полагая для простоты, что все коэффициенты зависят только от одной переменной  $\hat{y}_N$ . Приведите линеаризованный вариант уравнения и опишите алгоритм его решения. Воспользуйтесь процедурой вывода, описанной в лекции № 8.

Система квазилинейных разностных уравнений имеет канонический вид

$$\begin{cases} \hat{K}_0 \hat{y}_0 + \hat{M}_0 \hat{y}_1 = \hat{P}_0, \\ \hat{A}_n \hat{y}_{n-1} - \hat{B}_n \hat{y}_n + \hat{D}_n \hat{y}_{n+1} = -\hat{F}_n, & 1 \leq n \leq N-1, \\ \hat{K}_N \hat{y}_N + \hat{M}_N \hat{y}_{N-1} = \hat{P}_N. \end{cases}$$

Учитывая зависимость только от одной переменной  $\hat{y}_N$

$$\hat{A}_n = \hat{A}_n(\hat{y}_n), \quad \hat{B}_n = \hat{B}_n(\hat{y}_n), \quad \hat{D}_n = \hat{D}_n(\hat{y}_n), \quad \hat{F}_n = \hat{F}_n(\hat{y}_n),$$

выполним линеаризацию по Ньютону

$$\begin{aligned} & \left( \hat{A}_n \hat{y}_{n-1} - \hat{B}_n \hat{y}_n + \hat{D}_n \hat{y}_{n+1} + \hat{F}_n \right) \Big|_{(s-1)} + \hat{A}_n^{(s-1)} \Delta \hat{y}_{n-1}^{(s)} + \\ & + \left( \frac{\partial \hat{A}_n}{\partial \hat{y}_n} \hat{y}_{n-1} - \frac{\partial \hat{B}_n}{\partial \hat{y}_n} \hat{y}_n - \hat{B}_n + \frac{\partial \hat{D}_n}{\partial \hat{y}_n} \hat{y}_{n+1} + \frac{\partial \hat{F}_n}{\partial \hat{y}_n} \right) \Big|_{(s-1)} \cdot \Delta \hat{y}_n^{(s)} + \hat{D}_n^{(s-1)} \Delta \hat{y}_{n+1}^{(s)} = 0. \end{aligned}$$

Тогда

$$A_n \Delta \hat{y}_{n-1}^{(s)} - B_n \Delta \hat{y}_n^{(s)} + D_n \Delta \hat{y}_{n+1}^{(s)} = -F_n$$

$$\begin{cases} A_n = \widehat{A}_n^{(s-1)}, \\ B_n = \left( -\frac{\partial \widehat{A}_n}{\partial \widehat{y}_n} \widehat{y}_{n-1} + \frac{\partial \widehat{B}_n}{\partial \widehat{y}_n} \widehat{y}_n + \widehat{B}_n - \frac{\partial \widehat{D}_n}{\partial \widehat{y}_n} \widehat{y}_{n+1} + \frac{\partial \widehat{F}_n}{\partial \widehat{y}_n} \right) \Big|_{(s-1)}, \\ D_n = \widehat{D}_n^{(s-1)}, \\ F_n = \left( \widehat{A}_n \widehat{y}_{n-1} - \widehat{B}_n \widehat{y}_n + \widehat{D}_n \widehat{y}_{n+1} + \widehat{F}_n \right) \Big|_{(s-1)}. \end{cases}$$

Краевые условия

$$\begin{cases} \left( \widehat{K}_0 \widehat{y}_0 + \widehat{M}_0 \widehat{y}_1 - \widehat{P}_0 \right) \Big|_{(s-1)} + \widehat{K}_0^{(s-1)} \Delta \widehat{y}_0^{(s)} + \widehat{M}_0^{(s-1)} \Delta \widehat{y}_1^{(s)} = 0, \\ \left( \widehat{K}_N \widehat{y}_N + \widehat{M}_N \widehat{y}_{N-1} - \widehat{P}_N \right) \Big|_{(s-1)} + \widehat{K}_N^{(s-1)} \Delta \widehat{y}_N^{(s)} + \widehat{M}_N^{(s-1)} \Delta \widehat{y}_{N-1}^{(s)} = 0. \end{cases}$$

Тогда

$$\begin{cases} K_0 \Delta \widehat{y}_0^{(s)} + M_0 \Delta \widehat{y}_1^{(s)} = P_0, \\ K_N \Delta \widehat{y}_N^{(s)} + M_N \Delta \widehat{y}_{N-1}^{(s)} = P_N, \\ K_0 = \widehat{K}_0^{(s-1)}, \\ M_0 = \widehat{M}_0^{(s-1)}, \\ P_0 = - \left( \widehat{K}_0 \widehat{y}_0 + \widehat{M}_0 \widehat{y}_1 - \widehat{P}_0 \right) \Big|_{(s-1)}, \\ K_N = \widehat{K}_N^{(s-1)}, \\ M_N = \widehat{M}_N^{(s-1)}, \\ P_N = - \left( \widehat{K}_N \widehat{y}_N + \widehat{M}_N \widehat{y}_{N-1} - \widehat{P}_N \right) \Big|_{(s-1)}. \end{cases}$$

Получаем систему

$$\begin{cases} A_n \Delta \widehat{y}_{n-1}^{(s)} - B_n \Delta \widehat{y}_n^{(s)} + D_n \Delta \widehat{y}_{n+1}^{(s)} = -F_n, \\ K_0 \Delta \widehat{y}_0^{(s)} + M_0 \Delta \widehat{y}_1^{(s)} = P_0, \\ K_N \Delta \widehat{y}_N^{(s)} + M_N \Delta \widehat{y}_{N-1}^{(s)} = P_N. \end{cases} \quad (7)$$

Решается методом прогонки, в результате находятся все  $\Delta \widehat{y}_n^s$ , после чего определяются значения искомой функции в узлах  $\widehat{y}_n^s = \widehat{y}_n^{(s-1)} + \Delta \widehat{y}_n^s$ . Итерационный процесс заканчивается при выполнении условия  $\max \left| \frac{\Delta \widehat{y}_n^s}{\widehat{y}_n^s} \right| \leq \varepsilon$ .



# Листинг

Листинг 1: solve.hpp

```
1 #ifndef SOLVE_HPP_
2 #define SOLVE_HPP_
3
4 #include <QVector>
5
6 class Parameters {
7 public:
8     double F0;
9 };
10
11 class Dependency {
12 public:
13     QVector<double> x;
14     QVector<QVector<double>> Tx;
15     QVector<double> t;
16     QVector<QVector<double>> Tt;
17 };
18
19 Dependency solve(const Parameters& parameters);
20
21 #endif // SOLVE_HPP_
```

Листинг 2: solve.cpp

```
1 #include "solve.hpp"
2 #include <algorithm>
3 #include <cmath>
4
5 class Solver {
6 public:
7     explicit Solver(const Parameters& parameters) : F0_(parameters.F0) {}
8
9     Dependency solve() const {
10         Dependency result;
11         for (double x = 0.0; x <= l_ + h_; x += h_) {
12             result.x.push_back(x);
13         }
14         QVector<double> T_prev(result.x.size(), T0_);
15         QVector<double> T_curr(T_prev);
16         result.t.push_back(0.0);
17         result.Tx.push_back(T_prev);
18
19         for (double t = tau_; t <= 700; t += tau_) {
20             QVector<double> previous(T_prev);
21             for (;;) {
22                 const auto [K0, M0, P0] = left_border(T_curr, T_prev);
23                 const auto [KN, MN, PN] = right_border(T_curr, T_prev);
24
25                 QVector<double> A(1), B(1), D(1), F(1);
26                 for (auto [x, i] = std::tuple{0.0, 1}; x <= l_; x += h_, ++i) {
27                     auto ip1 = i + 1 < T_curr.size() ? i + 1 : i;
28                     A.push_back(x_nmh(T_curr[i], T_curr[ip1]) * tau_ / h_);
29                     D.push_back(x_nph(T_curr[i], T_curr[ip1]) * tau_ / h_);
30                     B.push_back(-A.back() - D.back() - c(T_curr[i]) * h_ - p(x) *
31                                 h_ * tau_);
32                     F.push_back(-f(x) * h_ * tau_ - c(T_curr[i]) * T_prev[i] * h_);
33                 }
34
35                 // forward sweep
36                 QVector<double> xi(A.size() + 1);
37                 QVector<double> eta(A.size() + 1);
38                 xi[1] = -M0 / K0;
39                 eta[1] = P0 / K0;
40                 for (int i = 1; i < A.size(); ++i) {
41                     const double det = B[i] + A[i] * xi[i];
42                     xi[i + 1] = -D[i] / det;
43                     eta[i + 1] = (F[i] - A[i] * eta[i]) / det;
44                 }
45
46                 // backward substitution
47                 T_curr.back() = (PN - KN * eta.back()) / (MN + KN * xi.back());
48                 for (int i = T_curr.size() - 2; i >= 0; --i) {
```

```

48         T_curr[i] = xi[i + 1] * T_curr[i + 1] + eta[i + 1];
49     }
50
51     if (max_diff(T_curr, previous) < eps_) {
52         result.t.push_back(t);
53         result.Tx.push_back(T_curr);
54         break;
55     }
56
57     qCopy(T_curr.begin(), T_curr.end(), previous.begin());
58 }
59
60 if (max_diff(T_curr, T_prev) < eps_) {
61     break;
62 }
63
64 qCopy(T_curr.begin(), T_curr.end(), T_prev.begin());
65 }
66
67 const auto step = static_cast<int>(0.1 / (result.x[1] - result.x[0]));
68
69 for (int i = 0; i <= 100; ++i) {
70     result.Tt.push_back({});
71     for (auto &Tx: result.Tx) {
72         result.Tt.back().push_back(Tx[i * step]);
73     }
74 }
75
76 return result;
77 }
78
79 private:
80     const double F0_;
81
82     static constexpr double l_ = 10;
83     static constexpr double T0_ = 300;
84     static constexpr double R_ = 0.5;
85     static constexpr double tau_ = 2;
86
87     static constexpr double a1_ = 0.0134;
88     static constexpr double b1_ = 1;
89     static constexpr double c1_ = 4.35e-4;
90     static constexpr double m1_ = 1;
91
92     static constexpr double a2_ = 2.049;
93     static constexpr double b2_ = 0.563e-3;
94     static constexpr double c2_ = 0.528e+5;
95     static constexpr double m2_ = 1;
96
97     static constexpr double alpha0_ = 0.05;
98     static constexpr double alphaN_ = 0.01;
99
100     static constexpr double h_ = 1e-2;
101     static constexpr double eps_ = 1e-5;
102
103     static double k(double T) {
104         return a1_ * (b1_ + c1_ * std::pow(T, m1_));
105     }
106
107     static double c(double T) {
108         return a2_ + b2_ * std::pow(T, m2_) - c2_ / (T * T);
109     }
110
111     static constexpr double alpha(double x) {
112         constexpr double delta_alpha = alphaN_ - alpha0_;
113         auto __c = -(alphaN_ * alpha0_ * l_) / delta_alpha;
114         auto __d = (alphaN_ * l_) / delta_alpha;
115         return __c / (x - __d);
116     }
117
118     static constexpr double p(double x) {
119         return 2 * alpha(x) / R_;
120     }
121
122     static constexpr double f(double x) {
123         return 2 * alpha(x) * T0_ / R_;
124     }
125
126     static double x_nph(double T_n, double T_np1) {

```

```

127         return (k(T_n) + k(T_np1)) / 2;
128     }
129
130     static double x_nmh(double T_n, double T_nm1) {
131         return (k(T_n) + k(T_nm1)) / 2;
132     }
133
134     std::tuple<double, double, double> left_border(const QVector<double> &T_curr, const
135         QVector<double> &T_prev) const {
136         constexpr double p_0 = p(0);
137         constexpr double p_h = (p_0 + p(h_)) / 2;
138         constexpr double f_0 = f(0);
139         constexpr double f_h = (f_0 + f(h_)) / 2;
140
141         const double c_0 = c(T_curr[0]);
142         const double c_h = c((T_curr[0] + T_curr[1]) / 2);
143         const double chi_h = (k(T_curr[0]) + k(T_curr[1])) / 2;
144
145         const double K0 = h_ * c_h / 8 + h_ * c_0 / 4 + tau_ * chi_h / h_ + tau_ * h_ * p_h /
146             8 + tau_ * h_ * p_0 / 4;
147         const double M0 = h_ * c_h / 8 - tau_ * chi_h / h_ + tau_ * h_ * p_h / 8;
148         const double P0 = h_ * c_h / 8 * (T_prev[0] + T_prev[1]) + h_ * c_0 / 4 * T_prev[0] +
149             F0_ * tau_ + tau_ * h_ / 4 * (f_h + f_0);
150
151         return {K0, M0, P0};
152     }
153
154     std::tuple<double, double, double> right_border(const QVector<double> &T_curr, const
155         QVector<double> &T_prev) const {
156         constexpr double p_N = p(l_);
157         constexpr double p_Nmh = (p_N + p(l_ - h_)) / 2;
158         constexpr double f_N = f(l_);
159         constexpr double f_Nmh = (f_N + f(l_ - h_)) / 2;
160
161         const int N = T_curr.size() - 1;
162
163         const double c_N = c(T_curr[N]);
164         const double c_Nmh = c((T_curr[N] + T_curr[N - 1]) / 2);
165         const double chi_Nmh = (k(T_curr[N]) + k(T_curr[N - 1])) / 2;
166
167         const double KN = h_ * c_N / 4 + h_ * c_Nmh / 8 + chi_Nmh * tau_ / h_ + alphaN_ * tau_
168             + p_N * tau_ * h_ / 4 + p_Nmh * tau_ * h_ / 8;
169         const double MN = h_ * c_Nmh / 8 - chi_Nmh * tau_ / h_ + p_Nmh * tau_ * h_ / 8;
170         const double PN = h_ * c_N * T_prev[N] / 4 + h_ * c_Nmh * (T_prev[N] + T_prev[N - 1])
171             / 8 + alphaN_ * T0_ * tau_ + (f_N + f_Nmh) * tau_ * h_ / 4;
172
173         return {KN, MN, PN};
174     }
175
176     // flexin'
177     template <typename Container>
178     static double max_diff(const Container& a, const Container& b) {
179         return std::transform_reduce(
180             a.begin(),
181             a.end(),
182             b.begin(),
183             0.0,
184             [](double acc, double cur) { return std::max(acc, cur); },
185             [](double ai, double bi) { return std::abs((ai - bi) / ai); }
186         );
187     }
188
189     };
190
191     Dependency solve(const Parameters& parameters) {
192         return Solver(parameters).solve();
193     }
194 }

```

Листинг 3: mainwindow.hpp

```

1  #ifndef MAINWINDOW_HPP_
2  #define MAINWINDOW_HPP_
3
4  #include <array>
5  #include <QMainWindow>
6  #include "qcustomplot.h"
7
8  QT_BEGIN_NAMESPACE
9  namespace Ui { class MainWindow; }
10 QT_END_NAMESPACE

```

```

11
12 class MainWindow : public QMainWindow
13 {
14     Q_OBJECT
15
16 public:
17     MainWindow(QWidget *parent = nullptr);
18     ~MainWindow();
19
20 private slots:
21     void on_calculatePushButton_clicked();
22
23 private:
24     Ui::MainWindow *ui;
25     std::array<QCustomPlot*, 2> customPlots;
26 };
27
28 #endif // MAINWINDOW_HPP_

```

Листинг 4: mainwindow.cpp

```

1 #include "mainwindow.hpp"
2 #include "../ui_mainwindow.h"
3 #include "solve.hpp"
4
5 MainWindow::MainWindow(QWidget *parent):
6     QMainWindow(parent),
7     ui(new Ui::MainWindow) {
8     ui->setupUi(this);
9
10    customPlots = {
11        ui->Tx_customPlot,
12        ui->Tt_customPlot,
13    };
14
15    for (auto&& customPlot: customPlots) {
16        customPlot->yAxis->setLabel("T, K");
17        customPlot->setInteractions(QCP::iRangeDrag | QCP::iRangeZoom |
18            QCP::iSelectPlottables);
19        customPlot->legend->setVisible(true);
20        customPlot->legend->setRowSpacing(-3);
21    }
22
23    ui->Tx_customPlot->xAxis->setLabel("x, cm");
24    ui->Tt_customPlot->xAxis->setLabel("t, мкс");
25 }
26
27 MainWindow::~MainWindow() {
28     delete ui;
29 }
30
31 static QPen getPen(int i) {
32     const auto r = static_cast<int>(qSin(i * 0.3) * 100) + 100;
33     const auto g = static_cast<int>(qSin(i * 0.6 + 0.7) * 100) + 100;
34     const auto b = static_cast<int>(qSin(i * 0.4 + 0.6) * 100) + 100;
35     QPen pen(QColor(r, g, b));
36     pen.setWidth(2);
37     return pen;
38 }
39
40 void MainWindow::on_calculatePushButton_clicked() {
41     const Parameters parameters = {
42         ui->F0_doubleSpinBox->value(),
43     };
44
45     auto result = solve(parameters);
46
47     for (auto&& customPlot: customPlots) {
48         customPlot->clearGraphs();
49     }
50
51     for (int i = 0, j = 0; i < result.Tx.size(); i += 3, ++j) {
52         ui->Tx_customPlot->addGraph();
53         ui->Tx_customPlot->graph()->setPen(getPen(j));
54         ui->Tx_customPlot->graph()->setName(QString("time = ") + QString::number(result.t[i]));
55         ui->Tx_customPlot->graph()->setData(result.x, result.Tx[i]);
56     }
57
58     for (int i = 0; i < result.Tt.size(); ++i) {

```

```

58         ui->Tt_customPlot->addGraph();
59         ui->Tt_customPlot->graph()->setPen(getPen(i));
60         ui->Tt_customPlot->graph()->setName(QString("len = ") + QString::number(i * 0.1));
61         ui->Tt_customPlot->graph()->setData(result.t, result.Tt[i]);
62     }
63
64     for (auto&& customPlot: customPlots) {
65         customPlot->rescaleAxes();
66         customPlot->replot();
67     }
68 }

```

### Листинг 5: main.cpp

```

1  #include "mainwindow.hpp"
2
3  #include <QApplication>
4
5  int main(int argc, char *argv[]) {
6      QApplication a(argc, argv);
7      MainWindow w;
8      w.show();
9      return a.exec();
10 }

```

### Листинг 6: CMakeLists.txt

```

1  cmake_minimum_required(VERSION 3.15)
2  project(lab04 CXX)
3
4  set(CMAKE_INCLUDE_CURRENT_DIR ON)
5
6  set(CMAKE_AUTOUIC ON)
7  set(CMAKE_AUTOMOC ON)
8  set(CMAKE_AUTORCC ON)
9
10 set(CMAKE_CXX_STANDARD 17)
11 set(CMAKE_CXX_STANDARD_REQUIRED ON)
12
13 find_package(Qt5 COMPONENTS Widgets REQUIRED)
14 find_package(Qt5 COMPONENTS PrintSupport REQUIRED)
15
16 add_compile_options(
17     -Werror
18
19     -Wall
20     -Wextra
21     -Wpedantic
22
23     -Wcast-align
24     -Wcast-qual
25     -Wconversion
26     -Wctor-dtor-privacy
27     -Wenum-compare
28     -Wfloat-equal
29     -Wnon-virtual-dtor
30     -Wold-style-cast
31     -Woverloaded-virtual
32     -Wredundant-decls
33     -Wsign-conversion
34     -Wsign-promo
35 )
36
37 include_directories(.. /qcustomplot)
38
39 set(
40     HEADERS
41     ../qcustomplot/qcustomplot.h
42     mainwindow.hpp
43     solve.hpp
44 )
45
46 set(
47     SOURCES
48     ../qcustomplot/qcustomplot.cpp
49     mainwindow.cpp
50     solve.cpp
51 )

```

```
52 |
53 | set(
54 |     FORMS
55 |     mainwindow.ui
56 | )
57 |
58 | add_executable(${PROJECT_NAME} main.cpp ${HEADERS} ${SOURCES} ${FORMS})
59 |
60 | target_link_libraries(${PROJECT_NAME} PRIVATE Qt5::Widgets)
61 | target_link_libraries(${PROJECT_NAME} PRIVATE Qt5::PrintSupport)
```